

# Sequential Treatment with Epirubicin/Cyclophosphamide, Followed by Docetaxel vs. FEC<sub>120</sub> in the Adjuvant Treatment of Breast Cancer Patients with Extensive Lymph Node Involvement: Final Survival Analysis of the German ADEBAR Phase III Study

W. Janni<sup>7</sup>, N. Harbeck<sup>6</sup>, H. Sommer<sup>2</sup>, B. Rack<sup>2</sup>, D. Augustin<sup>4</sup>, W. Simon<sup>5</sup>, J. Jueckstock<sup>2</sup>, A. Wischnik<sup>3</sup>, K. Annecke<sup>1</sup>, K. Friese<sup>2</sup>, M. Kiechle<sup>1</sup>

<sup>1</sup>Frauenklinik Technische Universitaet Muenchen, <sup>2</sup>Frauenklinik Innenstadt Ludwig-Maximilians Universitaet Muenchen, <sup>3</sup>Frauenklinik Zentralklinikum, Augsburg, <sup>4</sup>Mammazentrum Ostbayern Deggendorf, <sup>5</sup>Robert-Bosch-Krankenhaus, Stuttgart, <sup>6</sup>Frauenkliniken LMU Muenchen, <sup>7</sup>Frauenklinik Universitaetsklinikum Duesseldorf



## Background

Based on meta-analytic evidence, taxane containing adjuvant chemotherapy has been established as standard treatment in node-positive breast cancer. However, in the MA-21 study, adriamycin-cyclophosphamide, followed by paclitaxel (AC-P) was significantly inferior to the gold standard of anthracycline treatment, FEC<sub>120</sub> (Burnell, SABCS 2006). We prospectively compared a sequential epirubicin-docetaxel chemotherapy regimen to FEC<sub>120</sub>.

## Patients and Methods

The ADEBAR study was a multicenter phase III trial (n=1502) to evaluate whether breast cancer (BC) pts with > 3 axillary lymph node metastases benefit from a sequential anthracycline-docetaxel regimen (E<sub>90</sub>C-D: 4 cycles epirubicin [E] 90 mg/m<sup>2</sup> plus cyclophosphamide [C] 600 mg/m<sup>2</sup> q21 days followed by 4 cycles docetaxel [D] 100mg/m<sup>2</sup> q21 days) compared to dose-intensive anthracycline-containing polychemotherapy (FE<sub>120</sub>C: 6 cycles E 60 mg/m<sup>2</sup> d 1+8, 5-FU 500mg/m<sup>2</sup> d 1+8 and C 75 mg/m<sup>2</sup> d 1-14, q4 weeks). The Overall observation time (median – 95%CI) was 49.5 (47.4 – 51.3) months

## Results

Treatment was stopped prematurely in 3.7% of the pts in the E<sub>90</sub>C-D arm and in 8.0% in the FE<sub>120</sub>C arm due to toxicity (p=0.0009). Antibiotic treatment was given in 10.4% (E<sub>90</sub>C-D) vs. 19.7% (FE<sub>120</sub>C), G-CSF support in 39.2% vs 61.4 % and erythropoietin stimulation in 8.7% vs. 20.0%, respectively (p<0.0001). Haematological toxicity (leucopenia, neutropenic fever, thrombocytopenia, anemia) was significantly higher in the FE<sub>120</sub>C-arm.

At the time of the current analysis, 369 events of recurrence of breast cancer, were observed:

166 events in the FE120C group and 193 in the E90C-D group. The unadjusted hazard ratio (HR) was 0.877 (95 percent confidence interval, 0.722 to 1.065; p=0.3819, log-rank test). Overall survival in the two groups was not significantly different: (131 deaths with FE120C vs. 134 with E90C-D (HR 0.996, 0.783-1.267, p=0.9691). Subgroup analyses, stratifying for tumor size, lymph node involvement, hormone receptor and HER2-neu status showed no significant difference between the two treatment arms.

## Conclusions

Different toxicity profiles given, hematological toxicity in the FE120C group was more severe than in the E90C-D. In contrast to AC-P in earlier studies, EC-Doc provides a feasible and effective alternative option to dose-intensified FEC with different safety profile in this high risk breast cancer cohort.

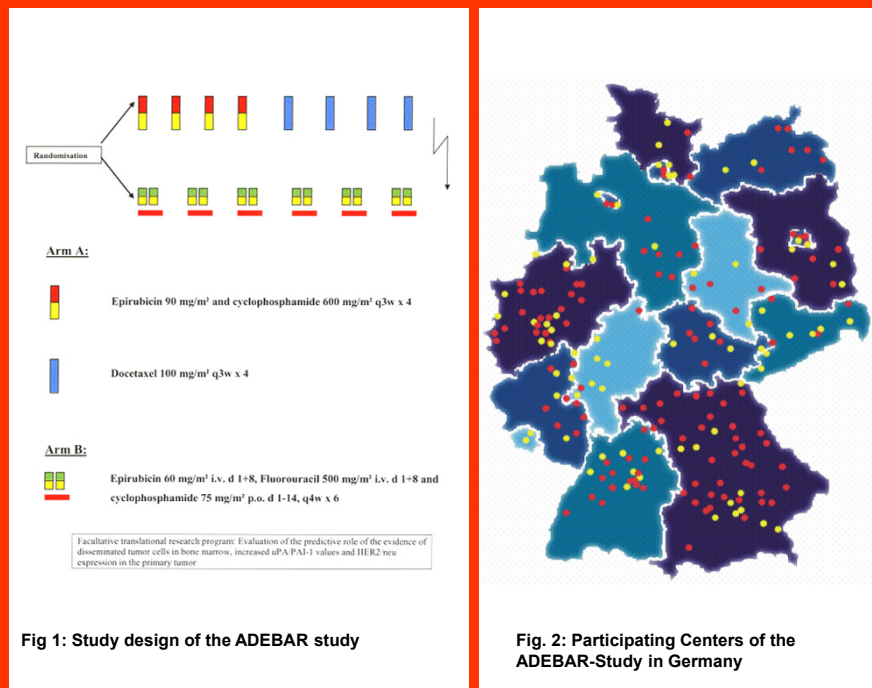


Fig 1: Study design of the ADEBAR study

Fig 2: Participating Centers of the ADEBAR-Study in Germany

### Participating ADEBAR-Centers

The following institutions contributed significantly to the ADEBAR-study by patient enrolment:

Zentralklinikum Augsburg, Hämat./Onkologische Gemeinschaftspraxis Troisdorf, Robert Bosch Krankenhaus Stuttgart, Mammazentrum Ostbayern Deggendorf, Klinikum der Hansesstadt Stralsund, Universitäts-Frauenklinik Tübingen, Klinikum Chemnitz gGmbH, Drs. Wehmeyer/Lerchenmüller Münster, Universitätsfrauenklinik Würzburg, Helios Klinikum Erfurt GmbH, Dr. Holger Doertz, Essen, Klinikum Fürth, Charité Virchow Klinikum, Berlin, Unifrauenklinik Erlangen, Städtisches Krankenhaus Lüneburg, Klinikum Rosenheim, Universitätsklinikum Benjamin Franklin, Berlin, Kreisklinik Ebersberg, Dr. Werner Fett, St. Elisabeth Krankenhaus, Köln, Frauenklinik Nordstadt, Hannover, Onkologische Schwerpunktpraxis Kassel, Klinikum St. Marien, Amberg, Frauenklinik Marienhospital Stuttgart, Onkologische Praxis Regensburg, Klinikum Schwäbisch Gmünd, Mutlangen, St. Vincenz Krankenhaus Limburg, Klinikum Fichtelgebirge, Marktredwitz, Harrietenstiftung, Hannover, Diakonie-Krankenhaus SHA, Schwäbisch-Hall, Onkologische Praxis, Wuppertal, Krankenhaus Effenfelden, Universitätsklinik, Mannheim, Pius-Hospital Oldenburg, Südharz-Krankenhaus Nordhausen gGmbH11, Uni-Frauenklinik Jena, Oskar-Ziethen-Krankenhaus, Berlin, Klinikum Meiningen GmbH, Klinikum Großhadern, München, Frauenklinik und Brustzentrum KH Elm, Hamburg, Klinikum Frankfurt/Oder, Kreiskrankenhaus Weiblingen, Klinikum Ludwigshafen, Dr. Matthias Demand, Straubing, Klinikum Biberach, Praxis Dr. Ursula Vöhling-Kaiser, Landsbut, Klinikum Bayreuth, Luisenhospital Aachen, Hämat.-Onkologische Schwerpunktpraxis, München, Städt. Krankenhaus Wertheim, Gem.Praxis Drs. Hahn und Müller, Ansbach, Krankenhaus Mittweida, Asklepios Kreiskrankenhaus, Weißenfels, Kreisklinik Tuttingen, Vivantes Humboldt Klinikum, Berlin, Westfalzklinikum Kaiserslautern, Praxis Lorchendorf, Hamburg, St. Marienhospital Vechta, Klinikum der Ernst-Moritz-Arndt-Universität, Großswald, Zentralklinikum Suhl gGmbH, Paracelsus Klinik, 24588 Henstedt-Ulzburg, Albersheim Krankenhaus, Hamburg, Klinikum Schaumburg, Stadtbergen, Leopoldina-Krankenhaus, Schweinfurt, Klinikum Landstut, St. Elisabeth Krankenhaus, Mayen, Klinikum CTK Cottbus, Praxis Drs. Schmitz + Steinmetz, Köln, Allg. Krankenhaus Barmbek, St. Vincentius Kliniken AG, Karlsruhe, DRK-Kliniken Köpenick, Berlin, Klinikum der Joh.Gutenberg-Universität, Mainz, Onkolog. Schwerpunktpraxis, St. Barbara Klinik Hessen, Hamm, Frauenarztpraxis, Waldmünchen, Onkologische Praxis, Bremen, Klinikum Weiden I.d. Opf., Onkologische Schwerpunktpraxis, Kreidl/EFK-Friedrich-Ebert-Krankenhaus, Neumünster, St. Marien Hospital GmbH, Düren, Evangelisches Krankenhaus Köln, Kliniken Landkreis Sigmaringen GmbH, Onkologische Gemeinschaftspraxis, Frankfurt am M 6, Ev. Krankenhaus Mülheim, Städtisches Klinikum Neunkirchen, Katholisches Klinikum Mainz, Gelsenkirchen Marienhospital GmbH, St. Antonius Hospital Eschweiler, Städtisches Klinikum Brandenburg GmbH, 14770 Brandenburg a.d.Havel, Ev. Diakonie-Krankenhaus gGmbH, Bremen, Onkologische Schwerpunktpraxis, Pinnberg, Henneberg-Klinik, Hilburgshausen, Frauenklinik, Halle/Saale, St.Lukas-Klinik GmbH, Solingen, Praxis Dr. Klare, Berlin, Gem.Praxis Muhr am See, Krankenhaus Belzig, Kreiskrankenhaus Eilenburg, Knappschaftskrankenhaus Dortmund, St. Johannes Krankenhaus, Landstut, Hamburg, Praxis Drs. Hecker und Lorenz, Braunschweig, Marienkrankenhaus Schwerte, Universitätsfrauenklinik, Homburg, MOP Elisenhof, München, Gynäkologie Kreiskrankenhaus, Hasserfur, St. Elisabeth Krankenhaus GmbH, Bad Kissingen, Klinikum Landsberg am Lech, Marienhospital Brühl, Paracelsus Krankenhaus Ruit, Ostfildern, Evangelisches Krankenhaus Köln, Kreiskrankenhaus, Torgau, Dr. Bles, Fr. Kleseyer, Altenkirchen, St. Joseph Krankenhaus, Berlin, Dr. Brigitte Sarfert, Bautzen, Praxis Drs. Brudler, Heinrich, Bangertner, Augsburg, Krankenhaus Neuwirk, Mönchengladbach, Klinikum Garmisch, Johanner Krankenhaus, Bonn, Klinik am Eichert, Göppingen, Brustzentrum Dresden, Klinikum Stuttgart, Onkologische Praxis Dr. Wille, Fürth, Onkologische Schwerpunktpraxis Herrsching, Krankenhaus Neuhaus/Rug, HerzKlinikum Wernigerode GmbH 38585, KH Schorndorf, Krankenhaus Forchheim, Gem.Praxis Drs. Neuziding und Wagner, Völklingen, St. Elisabeth Krankenhaus, Krankenhaus der Augustinerinnen GmbH, Köln, Marienhospital Arnsberg, Stadt Krankenhaus Worms, Gem.-Praxis Dr. med. Martina Stauch, Kronach, St. Martinus Hospital, Olpe, Kreiskrankenhaus Grewenbroich, Marienhospital, Herne, Praxis, Schmießberg, Helfenstein Klinik, Gelsingen an der Steige, Joseph-Hospital, Warendorf, Klinikum am Urban Berlin, Klinikum Ansbach, Kreisklinik Füssen/Druck, St. Elisabeth Krankenhaus, Salzgitter Bad, Marienkrankenhaus Burglich Gladbach, Städtisches Krankenhaus München, Onkologische Praxis Traunstein, Krankenhaus Wurzen, Bethanien Krankenhaus, Moers, Praxis Dr. Katrin Heine, Wolfsburg, Städtisches Klinikum Magdeburg, Städt. Krankenhaus, München, Asklepios Klinik, Lich, Heidekreisklinikum Walrode, Kreiskrankenhaus Wolgast, Zollernalb Klinikum gGmbH, Albstadt, Onkologische Schwerpunktpraxis, Cottbus, Schlossbergklinik, Oberstaufen, Medizinisches Zentrum Kreis Aachen gGmbH, Wirselen, Amalie-Sieweking-Krankenhaus, Hamburg, Eiblandklinik, Radebeul, Georg-August-Universität Göttingen, Wuppertaler Brustzentrum, Krankenhaus Ludmillerstift, Meppen, Franziskus Hospital, Bielefeld, Klinikum Traunstein, Krankenhaus Halle, Kreisklinik Trostberg, Ev.-Krankenhaus, Holzwinden, Kreiskrankenhaus Schmalzkalden GmbH, St. Elisabeth Krankenhaus Wittlich, Hämatolog.-Onkolog. Praxis Isarhof, München, OPF Neunkirchen, Klinikum Kassel GmbH, Raphaelsklinik Münster, Frauenklinik, St. Marien Krankenhaus, Bad Mergentheim, St. Josef-Hospital, Wiesbaden, Helios Klinik, Titisee-Neustadt, Universitätsklinikum Aachen, Dr. Christine Baer, Fürstentul, „Klinikum “D.C. Erleben““ Quedelburg, Asklepios Klinik Gernersheim, Evangelisches Krankenhaus Wesel, Erzgebirgsklinikum Annaberg, Hämatologische / Onkologische Praxis, Würzburg, Dr. med. Hans-Roland Schmitt, Gerlingen, Klinik St. Hedwig, Radeberg, Krankenhaus, Sulzbach-Rosenberg, Klinikum Landstut, Krankenhaus Götzow gGmbH, Diakonissen-Krankenhaus, Dresden, St. Salvator-Krankenhaus gGmbH, Halberstadt, Asklepios Klinik, Pasewalk, Klinikum Nürnberg, Gyn. Onkologische Praxis, Augsburg, Klinikum Riesa-Großenhain, Praxis Dres. Kowolick/Precht, München, Krankenhaus München – Schwabing, Klinikum Darmstadt

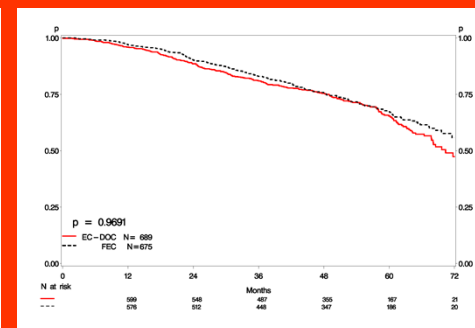


Fig 3: Disease Free Survival Analysis Total Population

Factor	DSF		OS	
	HR	95%-CI	HR	95%-CI
Therapy (EC-Doc vs. FEC)	1.009	0.818 – 1.243	0.925	0.719 – 1.190
Tumor size (T1 vs. T2-4)	1.279 *	1.119 – 1.463	1.259 *	1.071 – 1.480
Lymph node involvement (N0. vs. N1-3)	1.470 *	1.267 – 1.705	1.230 *	1.029 – 1.472
Grading (G1 vs. G2-3)	2.261	0.933 – 5.477	2.493	0.797 – 7.799
Hormone Receptor Status (neg. vs. pos.)	1.843 *	1.474 – 2.304	2.210 *	1.696 – 2.880
Her-2-neu (neg. vs. pos.)	0.803	0.640 – 1.007	1.060	0.972 – 1.156

Tab1: Multivariate Survival Analysis PH model

## Fig 4 a-d: Disease Free Survival Analysis in Subgroups

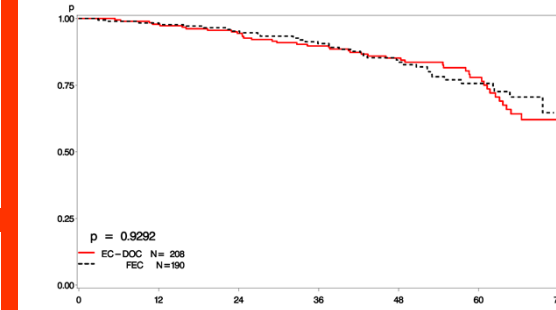


Fig 4a: DFS Subgroup HER2 neg/HR pos

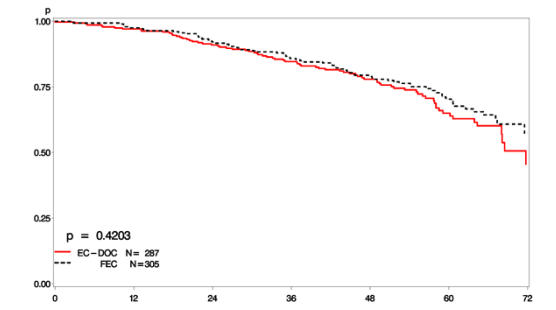


Fig 4d: DFS Subgroup HER2 pos/HR pos

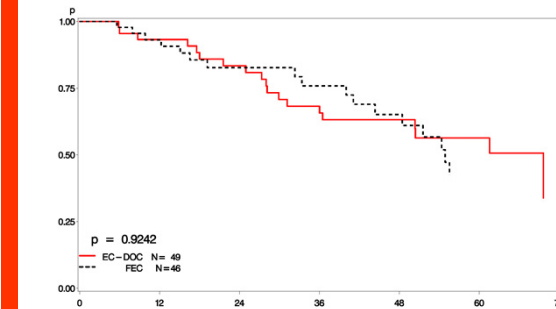


Fig 4b: DFS Subgroup HER2 neg/HR neg

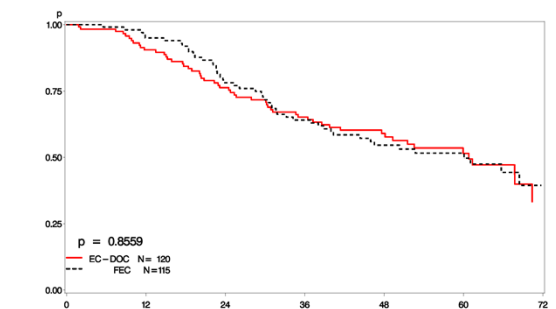


Fig 4c: DFS Subgroup HER2 pos/HR neg